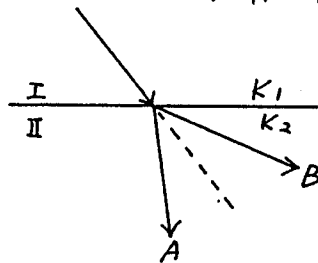


1. 在進行三軸压缩試驗時，圍圧 σ_r 維持一定，然後再增加垂直軸向左
应力 σ_a (不包含 σ_r)，直至試件破壞為止。假設由 σ_a 所產生之軸向
應變為 ϵ_a ，最大剪应力為 τ_{max} ，試導出下列之軸向應變與最大剪应力之
關係式：

$$\tau_{max} = (1+\nu) \epsilon_a \quad , \text{注意: } \nu \text{ 為波森比 (Poisson's Ratio)} \quad (5\%)$$

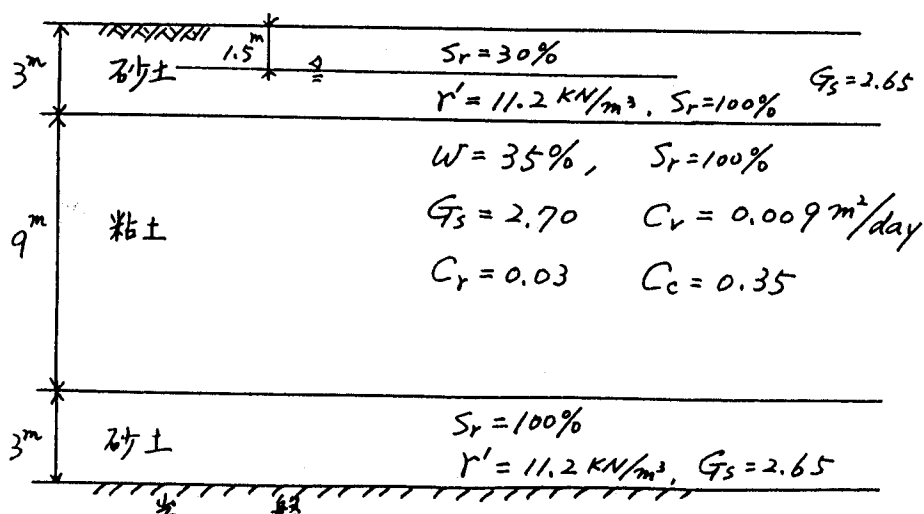
2. (a) 如圖所示，水流流線從土層 I (滲透係數為 K_1)，流入土層 II (滲透
係數為 K_2)，如果 $K_1 > K_2$ ，請問通過之流線應偏向 A 或 B. (3%)



(b) 繪製流網時為何網孔常選用正方形？(3%)

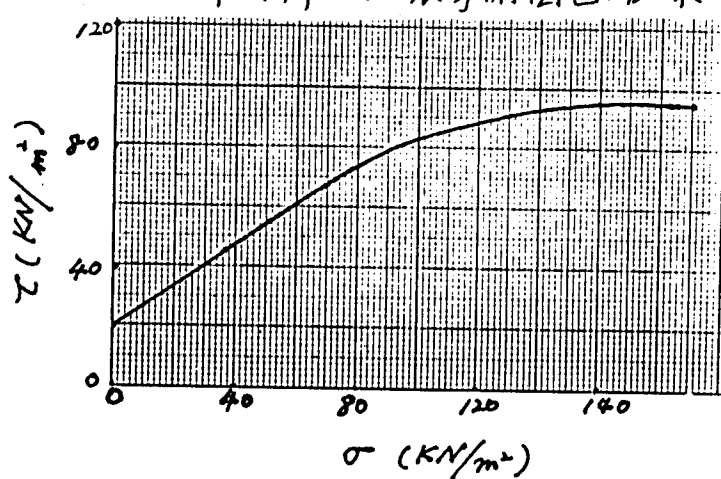
(c) 有一飽和土壤，若已知其無旁束壓縮应力強度 $f_u = 200 \text{ kN/m}^2$ ，在進
行三軸壓縮試驗時，於不排水的條件下，增加圍圧至 720 kN/m^2 ，
然後進行快速載重試驗 (Q-test)，請問其不排水強度 C_u 為
多少？請解釋你的答案。(4%)

3. 有一自然土層之土壤狀況如圖所示，假設粘土層之前期最大孔隙水壓較
現存覆土孔隙力大 10 kN/m^2 。今若在地表上再填土 3 m ，填土之單位重 $\gamma =$
 20 kN/m^3 。請計算整個粘土層之終極沉陷量為多少？又需耗時
多少天才能達到 100% 之終極沉陷量。(10%)



4. 以某種大地材料進行三軸压缩不排水試驗(置在 $\sigma_r = 100 \text{ kN/m}^2$), 當試件破壞時測得孔隙水壓為 40 kN/m^2 。若此種材料之破壞摩爾圓包絡線如右圖所示, 請問:

- (a). 試件破壞時之垂直軸向應力 σ_v 為何? (4%)
 (b). 試件中若有破壞面形成, 其方向為何? (4%)

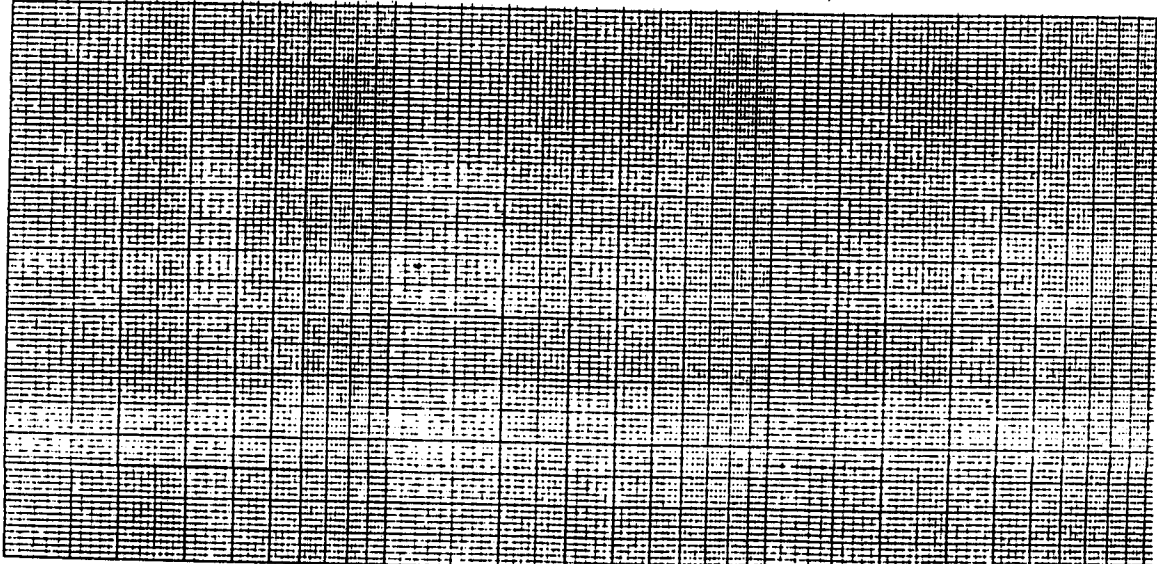


5. 有一無塑性砂土, 其天然狀態孔隙比為 e , 天然狀態之乾土單位重為 γ_d ,
- (a). 請以 e_{max} , e_{min} 及 e 來表示此砂土的相對密度 D_r . (2%)
 (b). 請由 e 與 D_r 的關係及(a)中所得 D_r 之式子導出 D_r 與 γ_d , γ_{dmax} , γ_{dmin} 的關係式. (5%)

6. 有一土壤試料經過篩分析後, 得結果如下:

篩號	6	10	20	40	60	100	200	底盤
篩孔尺寸(mm)	3.36	2.0	0.84	0.42	0.25	0.149	0.074	
土壤停留重量(公克)	0	10	20	22	20	16	8	4

- (a). 請繪出此試料的粒徑分佈曲線(請以下圖所示半對數尺寸繪製於試卷上)
 (b). 請求出有效粒徑及均勻係數: (4%) (6%)



7.(a)何謂主動土壓力、被動土壓力及靜止土壓力？(6%)

(b)請以圖示方法表示三者之關係。(4%)

8. 某邊坡如圖 A 所示，利用剪力
強度試驗法，求該邊坡安全係
數，圖中 $\gamma = 18 \text{ kN/m}^3$, $C = 20 \text{ kN/m}$,
和 $\phi = 30^\circ$ 。(15%)

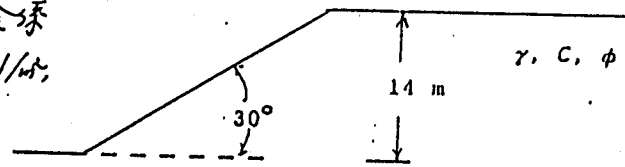


Figure A 圖 A

9. 某懸臂式鋼筋混凝土挡土結構物
如圖 B 所示，土管資料列於圖 B 中，
利用 Rankine 主動土壓力理論，求
該挡土結構物穩定性。(15%)

- (a) 倾倒的穩定性。
(b) 滑動的穩定性。
(c) 壓碎的穩定性包括求
趾端及跟端的壓力大小。

提示：
 $p_a = (4l - 6a) \frac{Rv}{L^2}$,
 $p_d = (6a - 2l) \frac{Rv}{L^2}$.

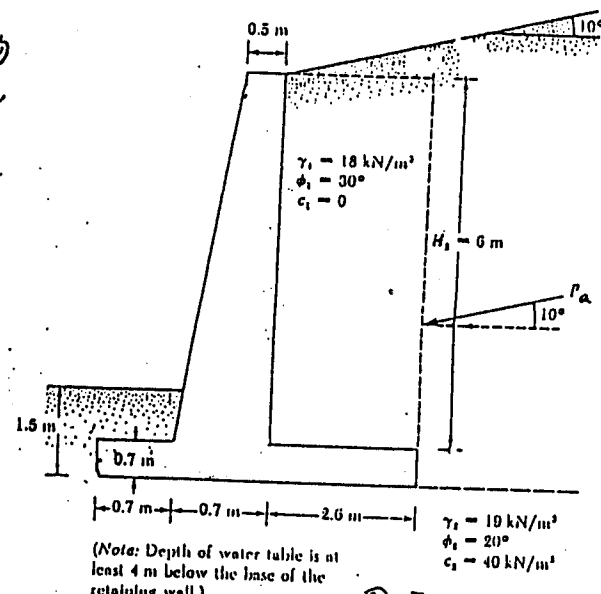


圖 B

10. 某工字土管資料如圖 C 所示：
今欲用預鑄混凝土正方形大綫
約樁埋置於該土管中。基樁尺
寸 $400\text{mm} \times 400\text{mm}$ ，混凝土強度
 $f'_c = 25 \text{ N/mm}^2$ ，若該基樁需承
受許工作荷重 600 kN (設 $\gamma_w = 10 \text{ kN/m}^3$)
利用 Δ -method 求基樁身的摩擦
阻力和採用安全係數 $F/S = 3.0$ 。
求該基樁貫入深度。(10%)

提示：

$$Q_{net} = N_c A_b S_u + I d S_u A_s$$

圖 C 中 $C_{uc(1)} = 30 \text{ kN/m}^2$; $C_{uc(2)} = 100 \text{ kN/m}^2$
 $\gamma_1 = 18 \text{ kN/m}^3$; $\gamma_{sat} = 19.6 \text{ kN/m}^3$

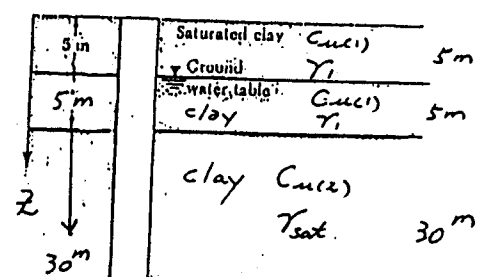


圖 C

[註]：(8)、(9)、(10) 三題所用設計圖表請參照第 4 頁

基礎工程使用設計圖表

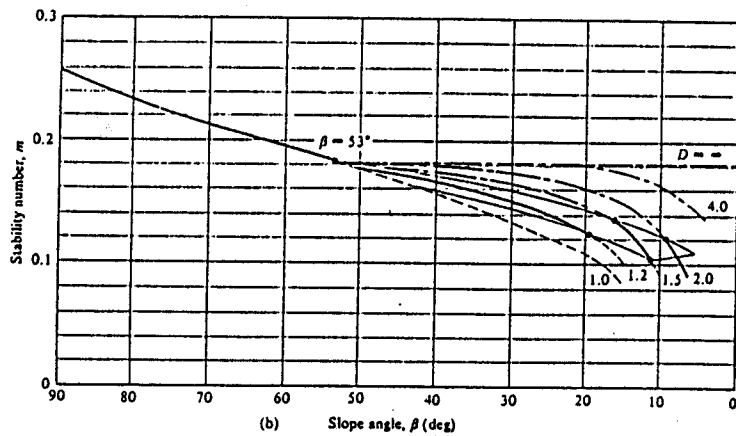


Figure (a) Definition of parameters for midpoint circle-type failure, and (b) plot of stability number against slope angle (redrawn from Terzaghi and Peck, 1967).

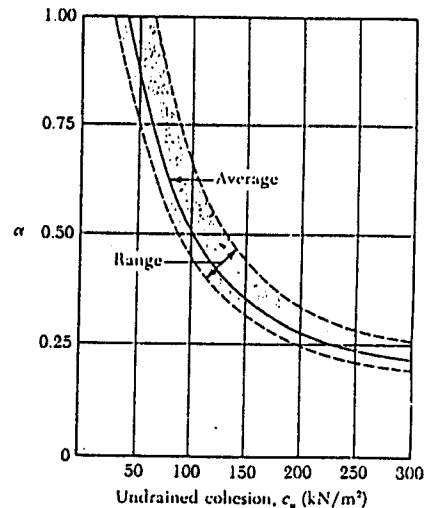


Figure Variation of α with undrained cohesion of clay

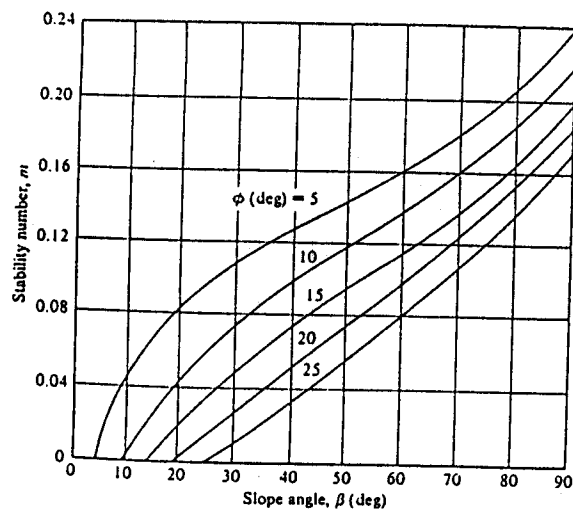


Figure Plot of stability number with slope angle; $\phi > 0$ (after Taylor, "Stability of Earth Slopes," *Journal of the Boston Society of Civil Engineers*, 1937)

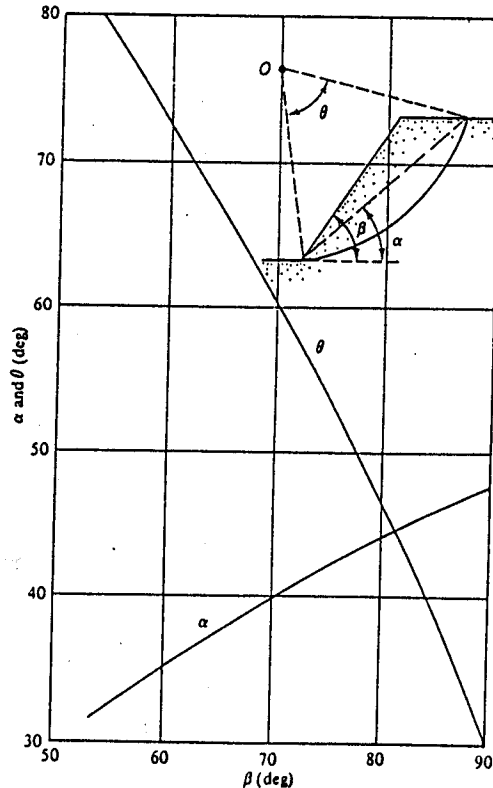


Figure Location of the center of critical circles for $\beta > 53^\circ$